

발전플랜트의 다단계 분산제어기 설계

Design of a Decentralized Multilevel control for Thermal Power Plant

*이 은호, 김 석우, 김 우성, 김 영철

충북대학교 전자공학과(Tel:0431-61-2475; Fax:0431-272-2475; E-mail: yckim@cbucc.chungbuk.ac.kr)

Abstract For the purpose of the good tracking to variable load demands of the thermal power plant, a decentralized multilevel control(DMC) scheme is presented. It is applied to the drum type boiler-turbine system which is simplified from Boryung T/P #1,2 model[4]. A linearized model is decomposed into three subsystems by means of linear transformation. Then the DMC based on such subsystem is designed. Simulation using Matlab-Simulink shows that the proposed algorithm works very well to the large step change of power demand.

Keywords DMC

1. 서 론

화력발전소의 보일러-터빈 시스템의 제어 방식에는 대규모 다변수 제어기법을 적용하는 집중제어방식과 각 기능별로 여러개의 부시스템(subsystem)으로 분할하여 개별제어 및 총괄제어를 조합한 분산제어방식(decentralized control)으로 대별된다. 그러나 전자의 경우 한 부분의 고장이 전체 시스템에 영향을 줄 수 있는 등 신뢰도 면에서 불리하여 주로 분산제어방식이 많이 연구되고 있다. 또한, 근래에 개발된 고성능 마이크로프로세서와 계측기술의 발달로 이들을 이용한 컴퓨터분산제어방식의 연구가 더 한층 고조되고 있는 추세이다. 본 논문에서는 보일러-터빈 시스템의 분산제어기 설계방식을 제안하고자 하며, 보령 T/P #1, 2호기의 B-T모델[4]을 대상으로 하였다. 간략화된 4차의 비선형 분포정수 모델로부터 출력에 대한 수 개의 동작점에 대해 선형화 모델을 구하고 연소 제어계, 출력 제어계, 드럼 수위 제어계의 3개 부시스템으로 분산화 시키는 입력 비집중화 기법을 제시하였다. 대규모 시스템을 비집중모델(decentralized model)로 분할하였을 때 각 부시스템의 국부제어기(local controller)가 추구하는 목적에 따라 협동상황(team situation)과 경쟁상황(competitive situation)을 고려하여야 하며, 상충단계에서 이를 부시스템의 제어기를 조정해주는 조정자(coordinator)가 필요하게 된다. 이러한 관점의 협조제어방식으로서 본 논문에서는 각 부시스템의 상호연관(interconnection)의 영향을 줄여주도록 하는 분산다단계제어(decentralized multilevel control : DMC) [2,3]방식을 적용하였으며 시뮬레이션을 통해 제시한 방식이 출력변동에 효과적으로 제어될 수 있음을 보였다.

2. 보일러-터빈 모델

보일러-터빈(B-T) 시스템은 대규모, 각종 파라미터의 분포성, 지역시간요소, 비선형성 등으로 인해 정확한 모델을 수학적으로 표현하기란 대단히 어렵다. 특히 출력변동에 따른 모델의 변화는 불가피하다.

본 논문에서는 분산제어 방식개발을 위한 대상 모델로 참고문헌[4,5]에 제시된 모델을 이용하고자 한다. 이 모델은 보령화력 1,2호기의 실제 사양과 운전 데이터로부터 얻어진 비선형모델로서, 넓은 동작범위에 걸쳐 실제 플랜트와 잘 일치한다.

<그림 2.1>은 드럼형 B-T모델의 계통도이며, 과열기 부분이 간략화된 드럼형 B-T 모델의 상태방정식은 다음과 같다.

$$\begin{bmatrix} a_{11} & 0 & 0 & 0 \\ 0 & a_{44} & 0 & 0 \\ a_{21} & 0 & a_{22} & a_{23} \\ a_{31} & 0 & 0 & a_{33} \end{bmatrix} \begin{bmatrix} P_s \\ q_s \\ V_w \\ X_r \end{bmatrix} = \begin{bmatrix} b_1 \\ b_4 \\ b_2 \\ b_3 \end{bmatrix} \quad (2.1)$$

위식을 상태변수로 표시하면 다음과 같다.

$$\begin{aligned} x &= A(x)^{-1} b(x, u) = f(x, u) \\ y &= g(x, u) \\ x^T &= [P \quad q_s \quad V_w \quad X_r] \\ u^T &= [Q \quad P_{co} \quad q_{fw}] \\ y^T &= [P_{\infty} \quad V_w \quad MW] \end{aligned} \quad (2.2)$$

여기서 P는 드럼의 증기압력[MPa], Vw는 드럼내의 물의부피 [m^3], Xr은 상승관내의 증기질, q_s 는 증기류량[Kg/sec], Q는 공급열량[KJ/sec], q_{fw} 는 급수유량[Kg/sec], P_{co} 는 주증기 제어밸브의 개폐율[%], P_{∞} 는 주증기 압력, MW는 출력을 나타낸다. 각 계수와 출력관계식은 참고문헌[4]를 참조한다.

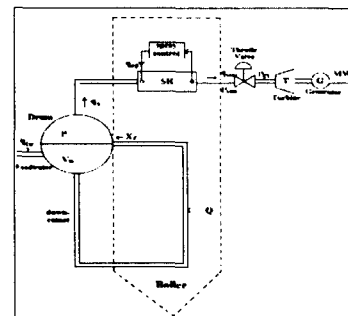


그림2-1 드럼형 보일러-터빈 계통도

3. B-T 시스템의 입력분산화모델

B-T 시스템의 분산제어방식의 연구에 있어서 중요한 출발점은 대규모 복합시스템을 어떻게 비집중화하는가이다. 이러한 목적을 위해서 B-T시스템을 주요 제어 기능별로 분류하면 다음과 같다[5].

(i) 온도제어계 : 터빈이 열응력에 의해 균열되는 것을 막기 위하여 파열기 출구의 주증기 온도를 일정하게 유지하는 것이 제어 목표이다. 파열저감기로부터 분사되는 냉각수의 유입량으로 제어된다.

(ii) 수위제어계 : 드럼형 보일러에서, 드럼의 수위는 동작점의 변화에 이에 수반되는 외란하에서도 정해진 상하한을 넘지 않도록 제어되어야 한다. 드럼 수위제어는 드럼에 공급되는 급수량의 제어로 이루어진다.

(iii) 연소제어계 : 보일러에 공급되는 열량과 보일러가 터빈에 공급하는 파열증기의 총엔탈피 사이에 에너지 평형이 이루어지도록 한다. 이는 주증기의 압력을 일정하게 유지하는 것으로 달성되며, 이를 위해 보일러에 공급되는 열량을 제어한다.

(iv) 출력제어계 : 보일러의 출력은 주증기가 갖고 있는 총엔탈피로 표시되며, 터빈을 거쳐 전력(MW)으로 변환된다. 주증기의 온도 압력이 유지되며, 총엔탈피는 주증기량에 의해 결정되며, 유량 제어밸브로 주증기량을 제어한다.

온도 제어와 관련된 공정은 그 동특성이 다른 공정에 비해 매우 빠르므로, 특이설동법을 적용하여 다른 공정과 분리할 수 있다. 따라서, B-T모델의 분산화 부시스템은 나머지 세개로 구성하기로 한다. 모델분할기법에는 시스템의 물리적 성질과 내부 구조를 고려하여 이루어지는 physical decomposition과 수학적인 방식 2가지로 나누어진다. 본 논문에서는 선형변환(linear transform)방식을 이용한 B-T시스템의 input decentralized model을 제시하고자 한다.

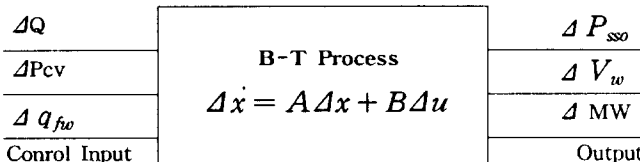


그림 3-1 B-T 모델

식 (2.1)을 한동작점[$x^o \ u^o$]에서 선형화 근사모델로 표현하면 다음과 같다.

$$S: \dot{z} = Az + Bu \quad (3.1)$$

$$\text{여기서, } z^T = [\Delta P \ \Delta q_s \ \Delta V_w \ \Delta X_r] \quad (3.2)$$

$$u^T = [\Delta Q \ \Delta P_{cv} \ \Delta q_{fw}] \quad (3.3)$$

$$A \in R^{4 \times 4}, B \in R^{4 \times 3}$$

식(3.1)의 파라미터 행렬 A, B는 시불변이고 (A, B)는 가제어(controllable)라고 가정한다. 모든 시스템이 하나의 독립된 입력을 갖는 시스템을 input decentralized system이라 한다.

여기서 고려하는 B-T 모델은 <그림 3.1>과 같이 3개의 제어 입력을 가지는 선형화모델을 나타내며, 앞에서 검토한 바에 따라 연소제어계, 출력제어계, 드럼수위제어계의 3개 부시스템으로 분할하기로 한다. 즉,

$$\bar{S}_i : \dot{\bar{z}}_i = \bar{A}_i \bar{z}_i + \sum_{\substack{j=1 \\ i \neq j}}^3 \bar{A}_{ij} \bar{z}_j + \bar{B}_i u_i, \quad i=1,2,3 \quad (3.4)$$

이제 식(3.1)로부터 (3.4)을 구하기위해 equivalence transformation $\bar{z} = Pz$ 을 이용한다. $P \in R^{4 \times 4}$ 는 constant nonsingular matrix이다.

선형변환 P는 \bar{B} 가 다음 형태가 되도록 선택한다.

$$\bar{B} = \begin{bmatrix} \bar{B}_1 & 0 & 0 \\ 0 & \bar{B}_2 & 0 \\ 0 & 0 & \bar{B}_3 \end{bmatrix} \quad (3.5)$$

$$\bar{B}_1 = 1, \bar{B}_2 = 1, \bar{B}_3 = \begin{bmatrix} 1 \\ 0 \end{bmatrix} \quad (3.6)$$

\bar{B} 를 다시쓰면,

$$\bar{B} = \begin{bmatrix} I_{3 \times 3} \\ \dots \\ 0 \end{bmatrix} \quad (3.7)$$

$\bar{z} = Pz$ 에 의해 S와 \bar{S} 에는 다음 관계가 있다.

$$\bar{A} = PA P^{-1}, \bar{B} = PB, \bar{C} = CP^{-1} \quad (3.8)$$

식 (3.7), (3.8)로 부터 선형변환 P를 다음과 같이 선택하였다.

$$P = Q^{-1} \quad (3.9)$$

$$Q = [B : \eta] \quad (3.10)$$

여기서 $\eta \in R^4$ 는 Q가 정칙이도록 임의로 선택된다.

위 결과를 각 부시스템별로 정리하면 다음과 같다.

(i) 연소제어 부시스템

$$\dot{\bar{z}}_1 = \bar{a}_1 \bar{z}_1 + \bar{a}_{12} \bar{z}_2 + \bar{A}_{13} \bar{z}_3 + u_1 \quad (3.11)$$

$$\bar{y}_1 = c_1 Q_1 \bar{z}$$

(ii) 출력제어 부시스템

$$\dot{\bar{z}}_2 = \bar{a}_2 \bar{z}_2 + \bar{a}_{21} \bar{z}_1 + \bar{A}_{23} \bar{z}_3 + u_2 \quad (3.12)$$

$$\bar{y}_2 = c_2 Q_2 \bar{z}$$

(iii) 드럼수위제어 부시스템

$$\dot{\bar{z}}_3 = \bar{A}_{33} \bar{z}_3 + \bar{A}_{31} \bar{z}_1 + \bar{A}_{32} \bar{z}_2 + u_3 \quad (3.13)$$

$$\bar{y}_3 = c_3 Q_3 \bar{z}$$

여기서 $\bar{z}_1, \bar{z}_2 \in R, \bar{z}_3 \in R^2, \bar{a}_i, \bar{a}_{ij} \in R^1, \bar{A}_{ij} \in R^{2 \times 2}$

$$c^T = [c_1 \ c_2 \ c_3], Q = [Q_1 \ Q_2 \ Q_3 \ Q_4], d_{32} \in R$$

$$\bar{A} = \begin{bmatrix} \bar{a}_1 & \bar{a}_{12} & \bar{A}_{13} \\ \bar{a}_{21} & \bar{a}_2 & \bar{A}_{23} \\ \bar{A}_{31} & \bar{A}_{32} & \bar{A}_{33} \end{bmatrix} \quad (3.14)$$

4. B-T모델의 Decentralized multilevel control 알고리즘

분산제어는 대규모 시스템을 각 구조체간의 정보전달 관계에 따라 여러개의 부시스템(subsystem)으로 나누고, 각 부시스템의 제어부가 자신의 부시스템내의 정보만을 이용하여 출력제어(output feedback) 또는 상태제어(state feedback) 제어를 구성하면서 동시에 다른 부시스템과의 interconnection을 고려하여 전체 안정도를 도모하는 제어방식이다. 이러한 방식에는 분산 극배치 방법, 분산 준최적제어 방법, 분산 확률제어 방법으로 분류할 수 있다. 본 논문에서는 B-T 모델의 분산 극배치 제어기를 설계하고자 한다. <그림 4.1>은 식 (3.6)의 i 번째 부시스템에 대한 block diagram이다.

5. 시뮬레이션

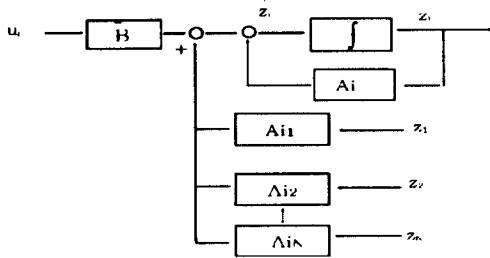


그림 4.1 Decentralized subsystem

식(3.4) 시스템에 대한 decentralized multilevel control은 각 부 시스템의 제어력을 국부적 안정을 위한 local control과 interaction을 상쇄시키기 위한 global control의 조합으로 구성한다. 즉

$$u_i = u_i^1 + u_i^g, \quad i = 1, 2, \dots, N \quad (4.1)$$

이제 u_i^1 과 u_i^g 를 설계하는 방법을 정리하고자 한다.

(\bar{A}_i , \bar{B}_i)가 가체어하다는 가정하에 interconnection을 무시한 decoupling system에 대해 local control law는 다음식(4.3)의 극배치가 이루어지도록 상태피드백 제어기를 설계한다.

$$u_i^1 = -h_i z_i \quad (4.2)$$

$$h_i = [h_{1i} \ h_{2i} \ h_{3i}]$$

$$|\lambda I - \bar{A}_i + \bar{b}_i h_i| = (\lambda - s_1^*)(\lambda - s_2^*)(\lambda - s_3^*) \quad (4.3)$$

여기서 s_i^* 는 미리 정해주는 subsystem의 폐루프 특성이 다. 물론 (4.2)는 suboptimal control law에 의해서도 설계 될 수 있다.

Global control law를

$$u_i^g = -\sum_{j=1}^N h_{ij} \bar{z}_{ij} \quad (4.4)$$

라 놓으면, 폐루프 시스템은 다음과 같다.

$$\dot{\bar{z}}_i = (\bar{A}_i - \bar{b}_i h_i) \bar{z}_i + \sum_{j=1}^N (\bar{A}_{ij} - \bar{b}_{ij} h_{ij}) \bar{z}_j, \quad i = 1, 2, 3 \quad (4.5)$$

식(4.1) 제어기가 식(3.4)의 전체 시스템을 안정화 시키는 global control gain h_{ij} 는 Sevastyanov-Kotelyanski 조건[2]을 만족하도록 다음과 같이 구할 수 있다.

$$h_{ij} = [(\bar{b}_i^T \bar{b}_j)^{-1} \bar{b}_j^T \bar{A}_{ij}]^T \quad (4.6)$$

여기서, $(\bar{b}_i^T \bar{b}_j)^{-1} \bar{b}_j^T$ 는 \bar{b}_j 의 Moore-Penrose inverse 이다. 따라서 전체상태피드백 분산제어기의 이득행렬은 다음과 같다.

$$H = \begin{bmatrix} h_1 + h_{11} & h_{12} & \cdots & h_{14} \\ h_{21} & h_2 + h_{22} & \cdots & h_{24} \\ \vdots & \vdots & & \vdots \\ h_{41} & h_{42} & \cdots & h_4 + h_{44} \end{bmatrix} \quad (4.7)$$

식(2.2) B-T모델의 95% 출력에 대응하는 동작점 변수는

$$\begin{aligned} X_{95}^T &= [P, qs, Vw, Xr] \\ &= [17.75, 393.0, 18.5, 0.2435], \end{aligned}$$

$$\begin{aligned} U_{95}^T &= [Q, Pcv, q_w] \\ &= [486.492, 58.38, 393] \end{aligned}$$

이며, 선형화모델 식(3.1)의 A, B는 다음과 같이 구해진다.

$$A = \begin{bmatrix} 3.8943e-3 & -2.7403e-4 & -4.2356e-10 & 4.4591e-8 \\ 3.6901e-1 & -3.3333e-2 & 0 & 0 \\ 7.4461e-3 & 7.1972e-3 & -1.3253e-08 & -3.3199e+1 \\ 2.5990e-4 & 7.7672e-5 & -1.8311e-10 & -3.1539e-1 \end{bmatrix}$$

$$B = \begin{bmatrix} 2.6185e-007 & 0 & -5.0118e-005 \\ 0 & 1.1363e-001 & 0 \\ 4.9018e-007 & 0 & -9.3820e-005 \\ 1.7402e-008 & 0 & -2.5977e-005 \end{bmatrix}$$

입력분산화를 위한 변환행렬 P는 다음과 같이 선정하였다.

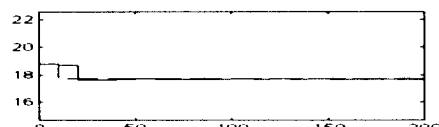
$$P = \begin{bmatrix} 1.3120e+7 & 0 & -4.6687e+6 & -8.4516e+06 \\ -1.8893e+1 & 8.8006 & 1.0093e+1 & 2.1250e-14 \\ 9.1433e+4 & 0 & -4.7275e+4 & -4.4158e+04 \\ 2.1468e-3 & 0 & -1.1468e-3 & -2.4146e-18 \end{bmatrix}$$

A의 고유치는 $-3.0383e-2, 9.4425e-4, -3.1539e-1, -9.1114e-9$ 로 불안정한 시스템으로 나타난다. 이를 고유치를 고려하여 local control law 설계를 위한 식(4.3)의 폐루프 극값을 $-1, -2, -7, -10$ 에 설정하였다. Ackerman의 극배치 공식과 식(4.6)에 의한 global control gain을 구하면 최종 DMC이득의 H행렬 다음과 같다.

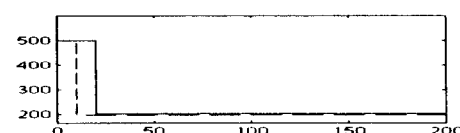
$$H = \begin{bmatrix} 1.3134e7 & -3.7853e4 & -4.6687e6 & 1.4921e8 \\ -3.4537e1 & 1.7386e1 & 2.0185e1 & -3.3507e2 \\ 3.3307e5 & -3.6873e2 & -9.1607e1 & -8.4808e5 \end{bmatrix}$$

이때, 선형화 시스템의 폐루프 고유치는

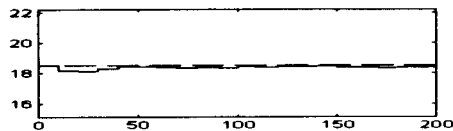
$\lambda[\bar{A} - \bar{B}H] = \lambda[A - BHP]$ 은 $-1, -2, -7, -10$ 로 나타난다. <그림 5>는 B-T출력이 110%에서 운전 중 50%로 스텝변화가 일어난 경우에 대한 시뮬레이션결과로서 상태궤적[P, qs, Vw, Xr]과 출력[Mw]을 나타내는데 출력의 추종성능이 매우 우수함을 보여주고 있다. 실선은 시뮬레이션결과이고 파선은 기준값을 나타낸다. 과도응답 데이터의 그래픽이 다소 단순하게 보여지는 것은 Matlab-Simulink를 이용한 real-time simulation결과를 나타냈기 때문이다.



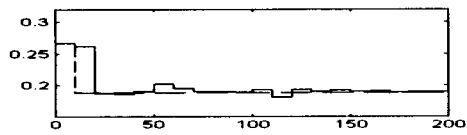
(a) P: 드럼의 증기압력 [MPa]



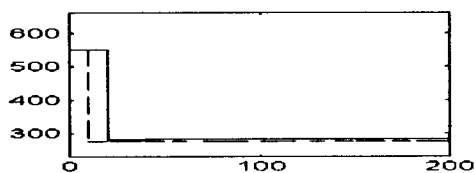
(b) qs: steam flow rate [Kg/sec]



(c) V_w : 드럼내의 물의 부피 [m^3]



(d) X_r : 상승관내의 증기질



(e) M_w : 출력

그림5. 터어빈 출력이 110%에서 50%로 스텝변화
한 경우
DMC의 제어결과

참 고 문 헌

1. N.R. Sandell et al 3, " Survey of Decentralized Control Methods for Large Scale System," *IEEE Trans. Auto. Contr.*, Vol.AC-23, pp.108-129, 1978.
2. D.D. Siljak, *Large Scale Dynamic Systems:Stability and Structure*, North Holland, 1978.
3. D.D. Siljak, *Decentralized Control of Complex System*, Academic Press, 1991.
4. 한전기술연구원, "보일러 계수추정에 의한 최적 보일러 제어기 개발(I)," KRC-901 -J03, 연구보고서, 1993.
5. 서진현, 발전플랜트의 분산적용 제어기 구성에 관한 연구, 한2국전력공사 연구보고서, 1994.
6. 기초전력공학 공동연구소, 발전플랜트를 위한 컴퓨터 분산제어 알고리즘의 개발, 1차년도 중간보고서, 1995. 7.

6. 결 론

최근에 개발된 보령T/P의 보일러-터빈 모델을 기준으로하여, 과열증기계의 온도제어루프를 별도의 제어루프로 분리하고 간략화시킨 보일러-터빈계의 선형화 모델로부터 (1)연소제어 (2)출력제어 (3)드럼수위제어의 3개 부시스템으로 분할하는 방식을 제안하였다. 여기서, 각 부시스템은 한 개씩의 독립적인 입력을 갖도록 분산화된다. 이러한 모델에 대해 분산 다단계 제어기의 설계기법을 제시하였으며, 시뮬레이션을 통해 제안한 방식의 유용성을 보였다. 이 방식에서 부시스템의 안정도는 부시스템이 피드백 제어에 의해 달성되고 통합시스템의 안정은 상호연관의 영향을 최소화하도록 협조제어 기능을 갖는 구조로써 보일러-터빈 제어계에 매우 효과적인 제어방식이 될 것으로 기대된다.